

RED DE CONTROL SÍSMICO DE LA CUENCA DEL RÍO ARAGÓN

Parte de actividad quincenal: 16 al 31 de Mayo de 2011

1- RED SÍSMICA

La Red de Control Sísmico de la Cuenca del Río Aragón está compuesta por 16 estaciones de registro de velocidad (corto periodo y banda ancha) y 11 estaciones de registro de aceleración, según se muestra en la Figura 1, dividida en dos zonas. En la actualidad, la situación en la que se encuentra la red es la que se plasma en la Figura 1.

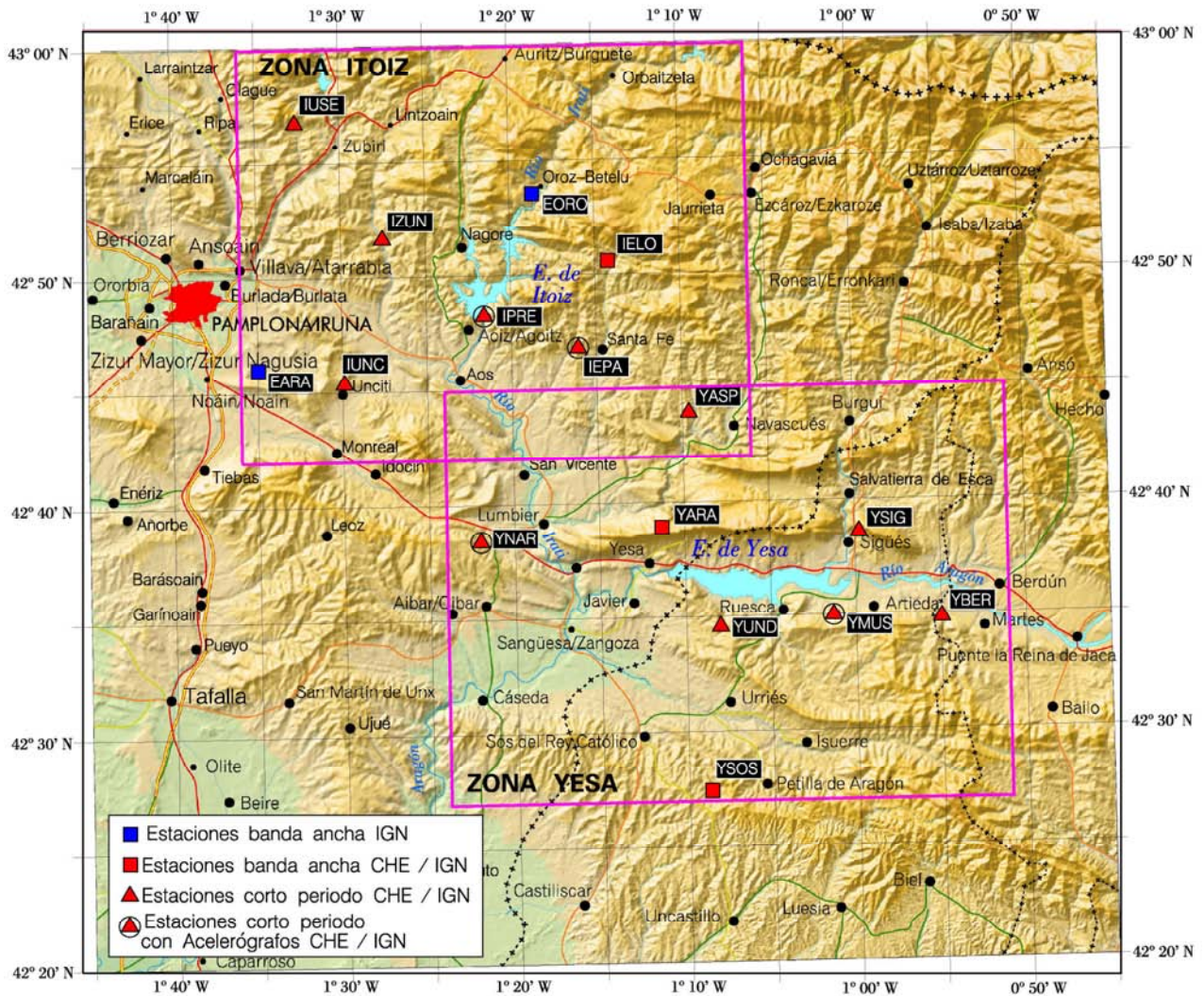


Figura 1.- Configuración y estado de la instalación de la red Sísmica del Río Aragón.

El nivel de operatividad del conjunto de la red ha sido del 78,50% según se muestra en la Figura 2.

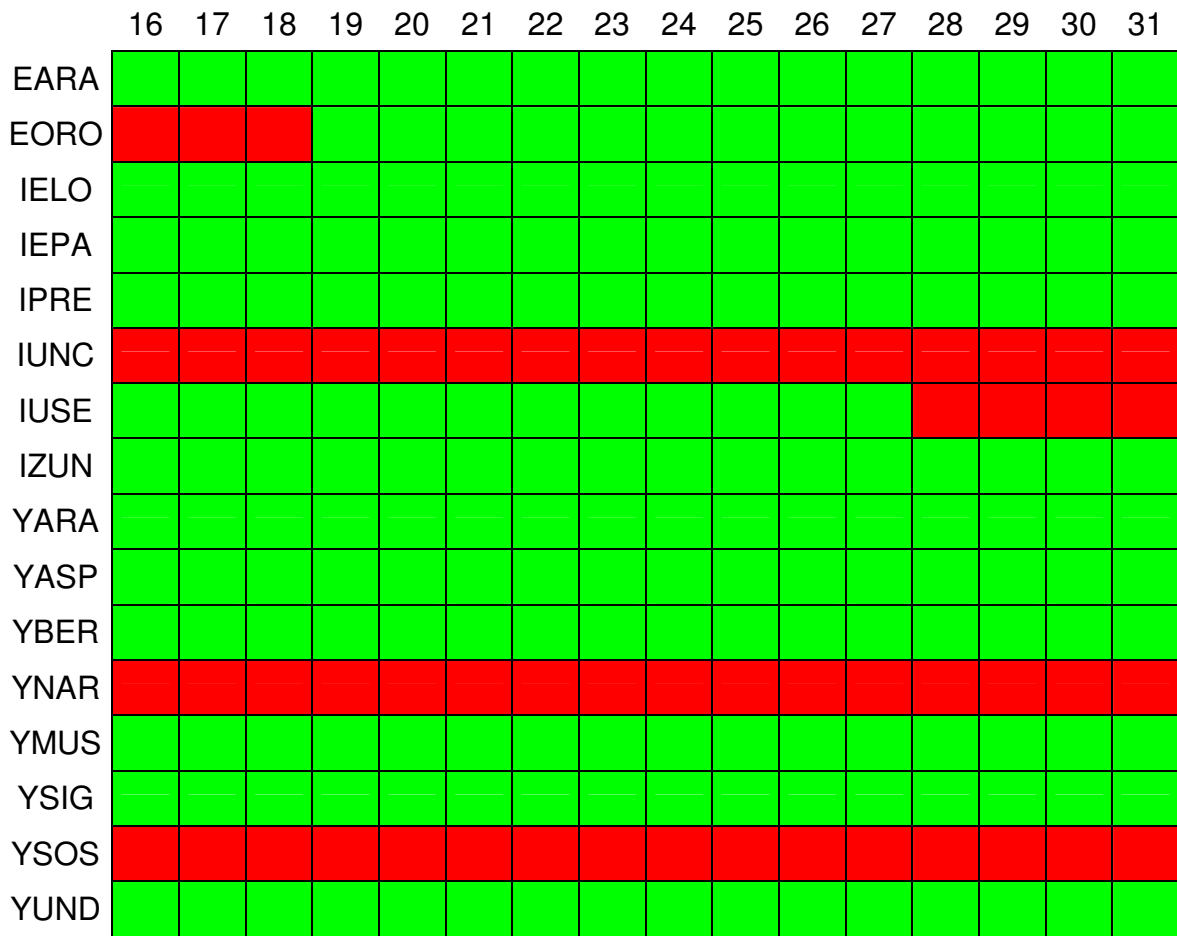


Figura 2.- Operatividad de las estaciones. Se señala en color rojo el periodo de tiempo en el que se interrumpe la secuencia de datos, por problemas en la instrumentación o en la transmisión.

2- ZONA DEL EMBALSE DE ITOIZ (PARALELOS 42.7N-43.0N, MERIDIANOS 1.6W-1.1W)

ACTIVIDAD SÍSMICA DEL PERIODO QUINCENAL 16 AL 31 DE MAYO DE 2011

En este periodo se han localizado en la zona próxima al embalse de Itoiz 44 terremotos entre las magnitudes de 0,4 y 3,1:

<u>Fecha</u>	<u>Hora (TU)</u>	<u>Lat.</u>	<u>Lon.</u>	<u>Mag</u>	<u>Localización</u>
16-may	02:49:08	42,81	-1,28	0,7	NW SANTA FE.NA
16-may	23:09:55	42,98	-1,28	2,8	NW ARIA.NA

16-may	23:19:17	42,98	-1,28	2,4	NW ARIA.NA
16-may	23:31:38	42,98	-1,27	0,8	NW ORBARA.NA
16-may	23:50:55	42,99	-1,28	0,7	SE RONCESVALLES.NA
17-may	00:05:58	42,97	-1,29	0,8	N GARRALDA.NA
17-may	00:16:06	42,97	-1,28	0,8	N GARRALDA.NA
17-may	00:47:27	42,94	-1,16	1,1	NE ABAURREA BAJA.NA
17-may	06:20:43	42,98	-1,28	1,5	E AURITZ/BURGUETE.NA
17-may	07:55:29	42,97	-1,29	1,0	NW GARRALDA.NA
17-may	18:37:50	42,98	-1,29	1,0	E AURITZ/BURGUETE.NA
17-may	21:25:46	42,94	-1,21	0,8	E V.NUEVA DE AEZKOA.NA
17-may	22:31:24	42,97	-1,16	1,0	E ORBAITZETA.NA
17-may	23:32:31	42,83	-1,43	0,6	NE LIZOÁIN.NA
21-may	01:32:19	42,90	-1,38	1,1	NW NAGORE.NA
22-may	08:04:44	42,97	-1,29	0,9	N GARRALDA.NA
22-may	10:31:13	42,98	-1,28	2,0	NW ARIA.NA
22-may	14:45:12	42,97	-1,28	3,1	NW ARIA.NA
22-may	19:59:28	42,81	-1,42	0,7	NE LIZOÁIN.NA
22-may	20:26:07	42,84	-1,36	0,9	SE NAGORE.NA
23-may	05:13:25	42,98	-1,28	1,2	NW ARIA.NA
23-may	19:32:24	42,97	-1,29	0,8	N GARRALDA.NA
23-may	20:54:45	42,82	-1,12	1,0	SW SARRIÉS/SARTZE.NA
24-may	03:52:29	42,97	-1,29	1,0	NW GARRALDA.NA
24-may	04:19:38	42,98	-1,28	0,7	NW ARIA.NA
24-may	23:49:53	42,99	-1,29	2,1	SE RONCESVALLES.NA
25-may	04:06:54	42,85	-1,44	2,6	W NAGORE.NA
25-may	09:32:25	42,83	-1,13	1,3	W SARRIÉS/SARTZE.NA
25-may	16:21:46	42,83	-1,48	0,8	NW LIZOÁIN.NA
26-may	00:17:04	42,84	-1,49	1,1	NE EGÜÉS.NA
26-may	00:27:07	42,83	-1,47	0,6	NW LIZOÁIN.NA
26-may	01:46:43	42,84	-1,49	0,5	NE EGÜÉS.NA
26-may	01:51:25	42,82	-1,46	0,7	N LIZOÁIN.NA
26-may	19:54:14	42,83	-1,16	0,7	W SARRIÉS/SARTZE.NA
28-may	17:24:51	42,85	-1,48	1,0	NW LIZOÁIN.NA
28-may	20:58:55	42,95	-1,26	0,7	NE ARIA.NA
29-may	03:47:01	42,74	-1,14	1,5	NW NAVASCUÉS.NA
30-may	00:32:02	42,83	-1,43	0,6	NE LIZOÁIN.NA
30-may	00:32:54	42,82	-1,42	0,8	NE LIZOÁIN.NA
30-may	05:50:11	42,81	-1,38	0,5	NW AOIZ/AGOITZ.NA
30-may	13:23:00	42,83	-1,19	1,6	NE SANTA FE.NA
31-may	21:41:25	42,81	-1,41	0,6	NW AOIZ/AGOITZ.NA
31-may	22:04:14	42,82	-1,42	0,4	NE LIZOÁIN.NA
31-may	22:04:37	42,80	-1,41	0,8	E LIZOÁIN.NA

En la Figura 3 se muestra su distribución epicentral.

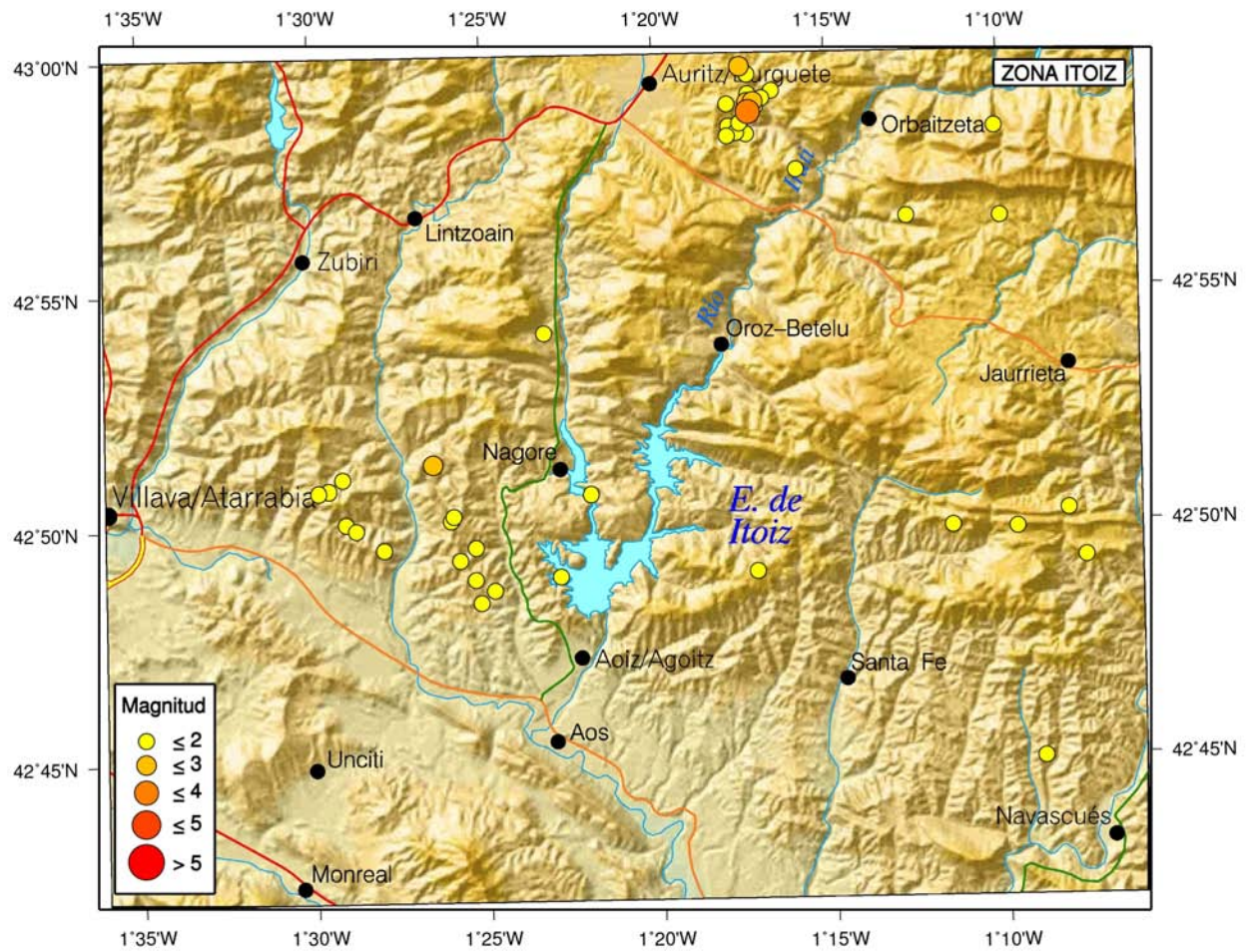


Figura 3.- Terremotos localizados en el periodo del 16 al 31 de mayo de 2011 en la zona de Itoiz, limitada por los paralelos 42,7N-43,0N y los meridianos 1,6W-1,1W.

En la Figura 4 se muestra la distribución temporal de estos terremotos.

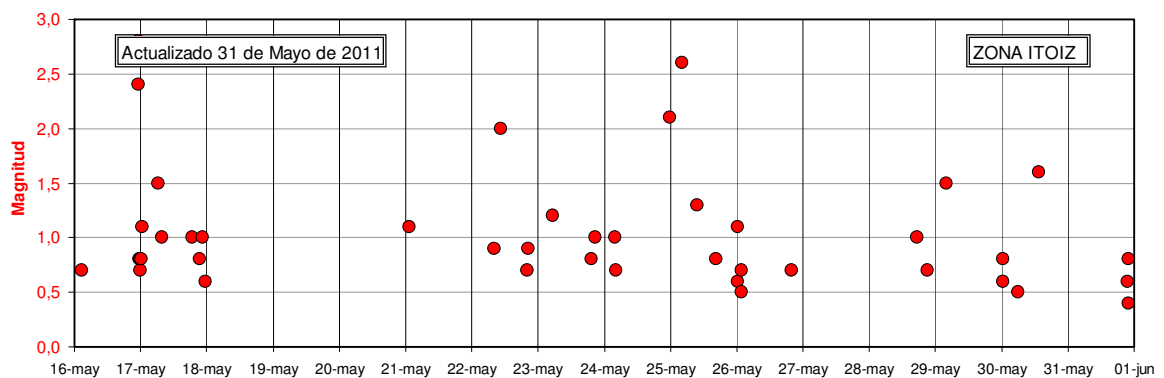


Figura 4.- Distribución temporal de los terremotos localizados en el periodo del 16 al 31 de mayo de 2011 en la zona de Itoiz, limitada por los paralelos 42,7N-43,0N y los meridianos 1,6W-1,1W.

En las Figuras 5 y 6 se muestran sendos gráficos actualizados de la distribución temporal de la actividad sísmica junto con la curva de llenado del embalse de Itoiz.

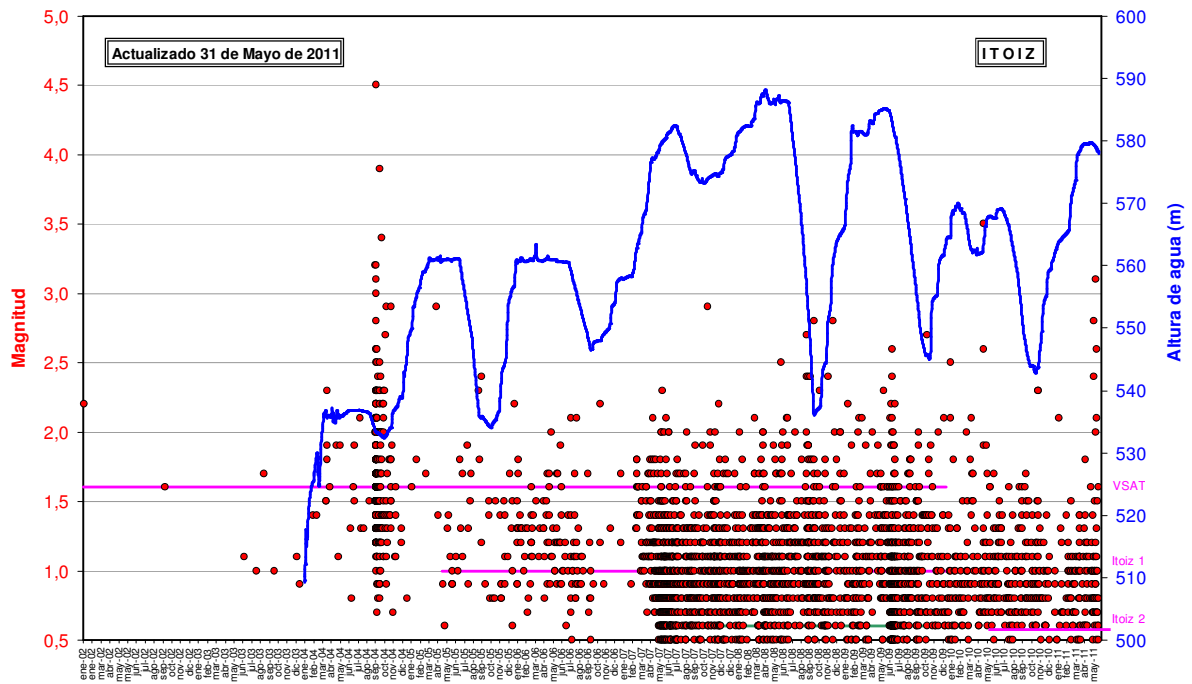


Figura 5.- Distribución temporal de los terremotos localizados en el periodo desde el 1 de enero de 2002 al 31 de mayo de 2011 en la zona de Itoiz, limitada por los paralelos 42,7N-43,0N y los meridianos 1,6W-1,1W, junto con la curva de llenado del embalse de Itoiz.

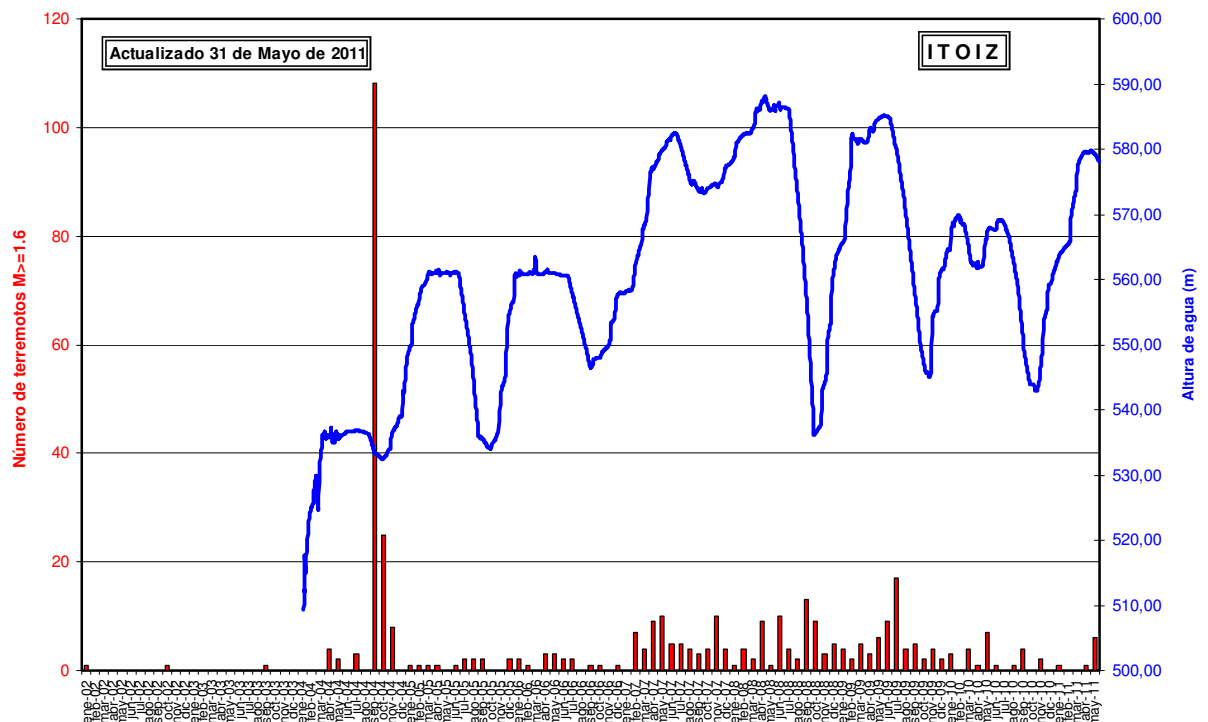


Figura 6.- Distribución temporal del número de terremotos al mes localizados en el periodo desde el 1 de enero de 2002 al 31 de mayo de 2011 en la zona limitada por los paralelos 42,7N -43,0N y los meridianos 1,6W -1,1W, junto con la curva de llenado.

3- ZONA DEL EMBALSE DE YESA (PARALELOS 42.45N-42.75N, MERIDIANOS 1.4W-0.85W)

ACTIVIDAD SÍSMICA DEL PERIODO QUINCENAL 16 AL 31 DE MAYO DE 2011

En este periodo se han localizado en la zona próxima al embalse de Yesa 8 terremotos entre las magnitudes de 0,7 y 1,5:

Fecha	Hora (TU)	Lat.	Lon.	Mag	Localización
20-may	21:01:40	42,60	-1,02	1,1	SW SIGÜÉS.Z
23-may	13:18:53	42,61	-,89	1,5	W BERDÚN.HU
26-may	20:26:48	42,57	-1,19	0,7	W UNDUÉS DE LERDA.Z
26-may	20:37:01	42,53	-1,21	0,8	SW UNDUÉS DE LERDA.Z
26-may	21:26:04	42,60	-1,13	0,8	NE UNDUÉS DE LERDA.Z
26-may	21:29:21	42,58	-1,18	1,1	NW UNDUÉS DE LERDA.Z
27-may	10:54:35	42,61	-1,11	1,4	NE UNDUÉS DE LERDA.Z
29-may	03:47:01	42,74	-1,14	1,5	NW NAVASCUÉS.NA

En la Figura 7 se muestra su distribución epicentral.

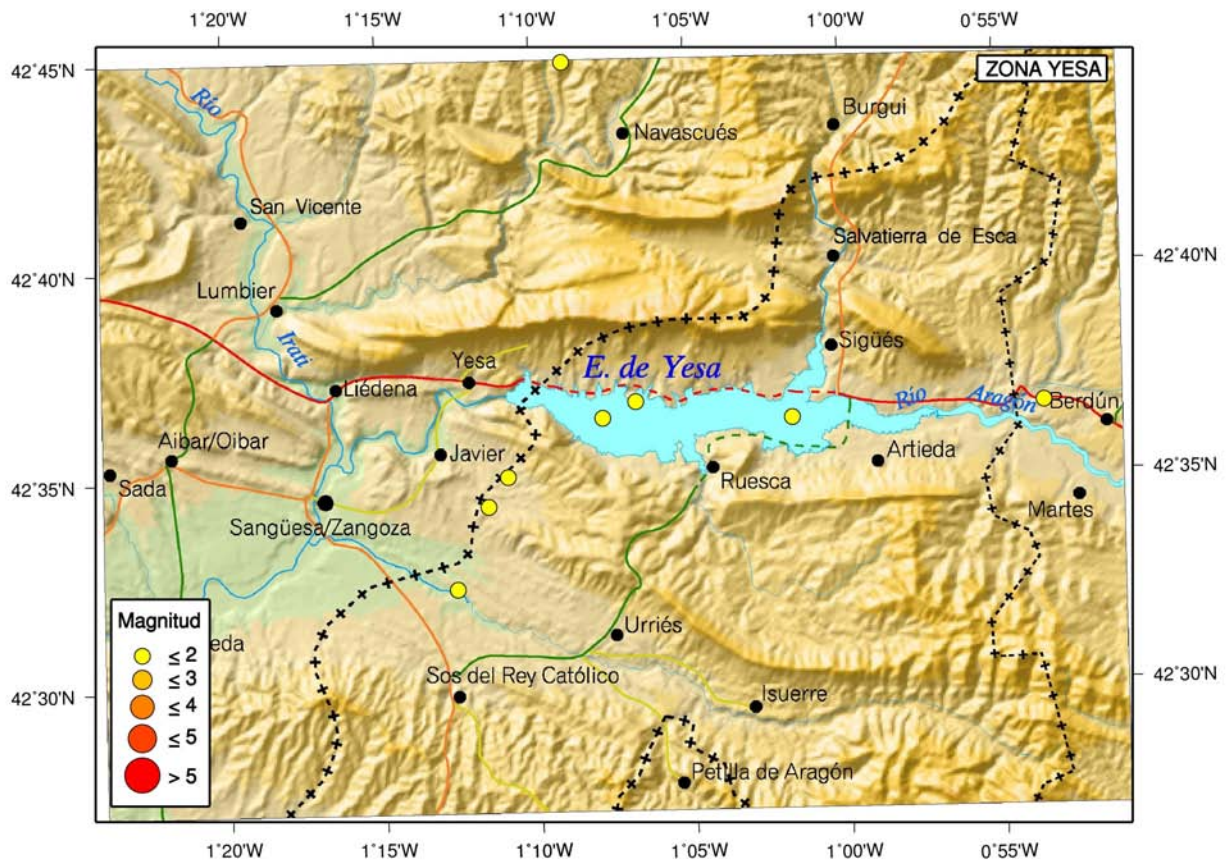


Figura 7.- Terremotos localizados en el periodo del 16 al 31 de mayo de 2011 en la zona de Yesa, limitada por los paralelos 42,45N-42,75N y los meridianos 1,4W-0,85W.

En la Figura 8 se muestra la distribución temporal de estos terremotos.

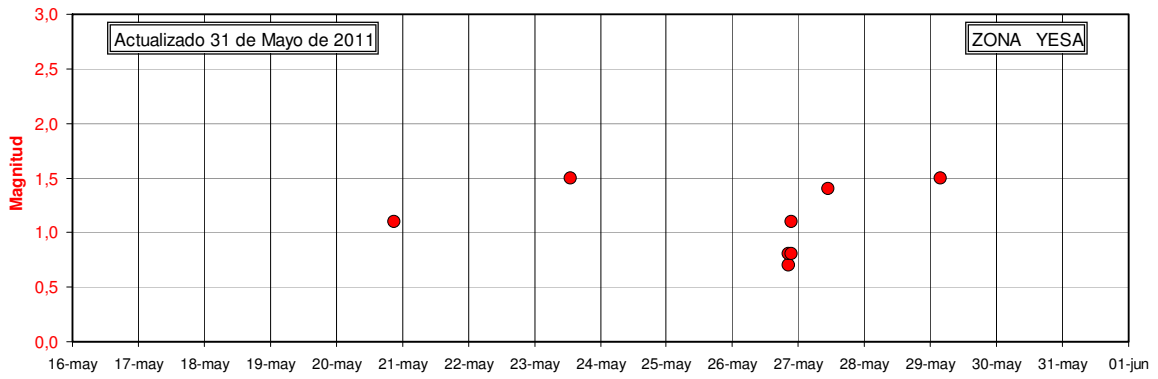


Figura 8.- Distribución temporal de los terremotos localizados en el periodo del 16 al 31 de mayo de 2011 en la zona de Yesa, limitada por los paralelos 42,45N-42,75N y los meridianos 1,4W-0,85W.

En las Figuras 9 y 10 se muestran sendos gráficos actualizados de la distribución temporal de la actividad sísmica junto con la curva de llenado del embalse de Itoiz.

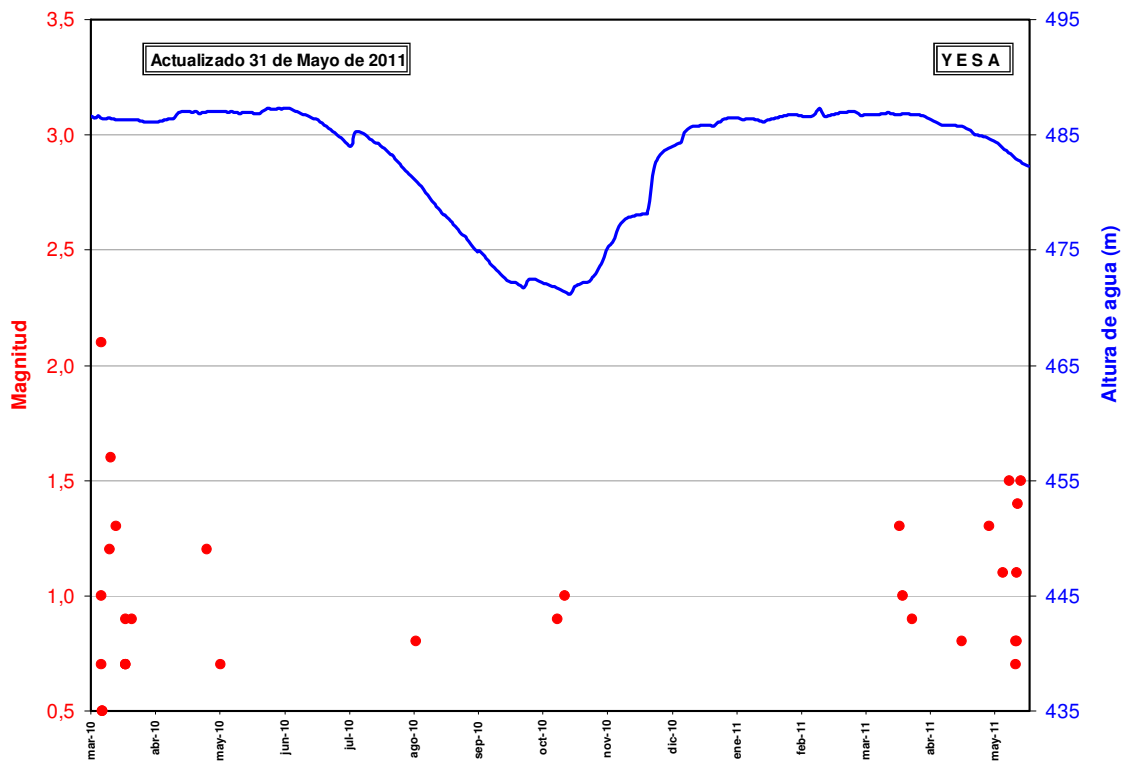


Figura 9.- Distribución temporal de los terremotos localizados en el periodo desde el 1 de marzo de 2010 al 31 de mayo de 2011 en la zona de Itoiz, limitada por los paralelos 42,45N-42,75N y los meridianos 1,4W-0,85W, junto con la curva de llenado del embalse de Yesa.

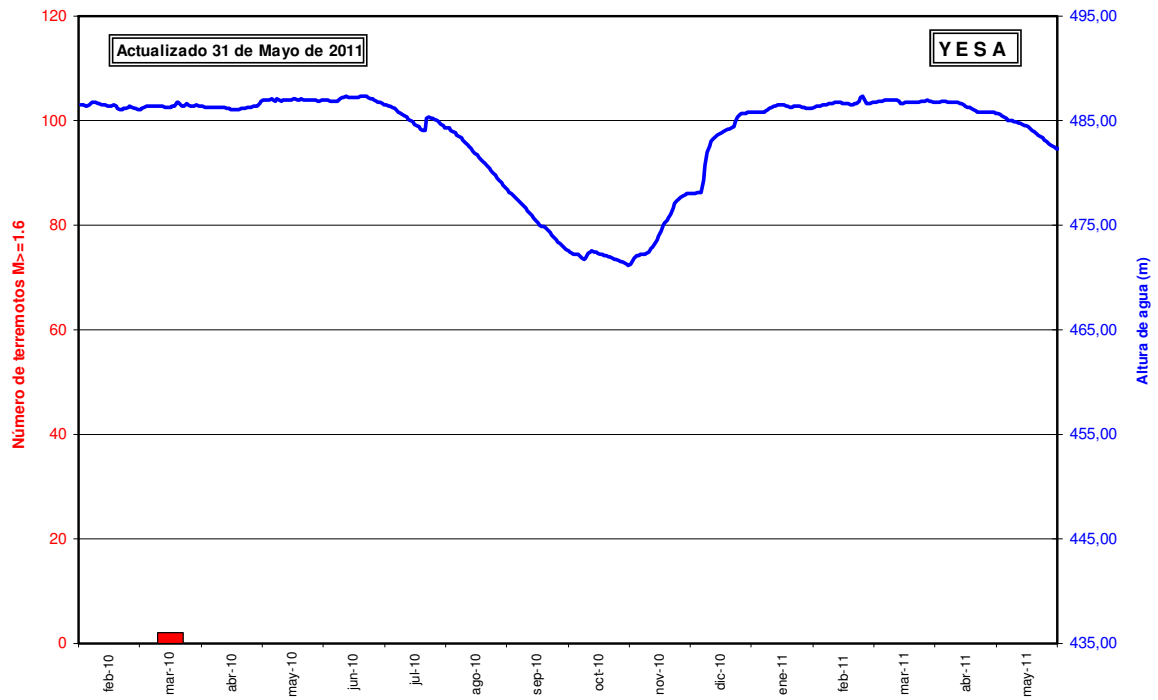


Figura 10.- Distribución temporal del número de terremotos al mes localizados en el periodo desde el 2 de febrero de 2010 al 31 de mayo de 2011 en la zona limitada por los paralelos 42,45N-42,75N y los meridianos 1,4W-0,85W, junto con la curva de llenado.